第Ⅱ部門ゲリラ豪雨の降雨強度予測におけるライフサイクル概念の重要性とその役割に関する研究

京都大学工学部 学生員 〇前川 智寧 京都大学防災研究所 正会員 キム ファヨン 京都大学防災研究所 正会員 中北 英一

1 研究の背景と目的

近年, 都市域を中心としてゲリラ豪雨と呼ばれる 局地的豪雨による災害が問題となっている. こうし た災害による被害を防ぐため、ゲリラ豪雨の危険性 予測に関する研究が多数なされてきた. 中北ら(2014) は X バンドレーダの立体観測により、積乱雲の早期 探知ができ、 さらにドップラー風速から推測される 鉛直渦度が強い場合にはほぼ確実に積乱雲が強く成 長することを示した. また, Kim and Nakakita (2021) はマルチドップラー解析によって推測される鉛直渦 度などを説明変数として用いることで精度の高い定 量的な危険性予測が行えることを示し、さらにこれ らの変数が積乱雲を探知してからの経過時間によっ て異なる特徴を見せることに着目して, 積乱雲探知 からの経過時間を 5 分ごとに区切ったステージに沿 って、段階的に別個の予測式を作成することによっ てより精度の高い定量的予測が行えることを示した. しかし、ゲリラ豪雨をもたらす積乱雲の一生の長 さは30分から1時間程と幅があり、個々の積乱雲に よって異なる. そのため, 既往研究で設定された5分 ごとの段階的なステージが、異なる事例間において 必ずしも積乱雲の発達過程における同じ段階を意味 するとは限らない(図1). 鉛直渦度や上昇流といっ た変数が時間経過とともに異なる特徴を見せるのは、 積乱雲の発達過程が進行するからである. しかし, 既 往研究では異なる積乱雲間における一生の長さの違 いが考慮されていない、そこで本研究では増田・中北 (2014) が開発した偏波レーダ観測値から粒子判別 を行い、その粒子判別結果から積乱雲の発達過程の 判定を行う手法を用いて(以下,発達過程全体をライ フサイクル、発達過程を構成する一つ一つのステー ジをライフステージと呼ぶ), ゲリラ豪雨の定量的

とその役割について検討する.

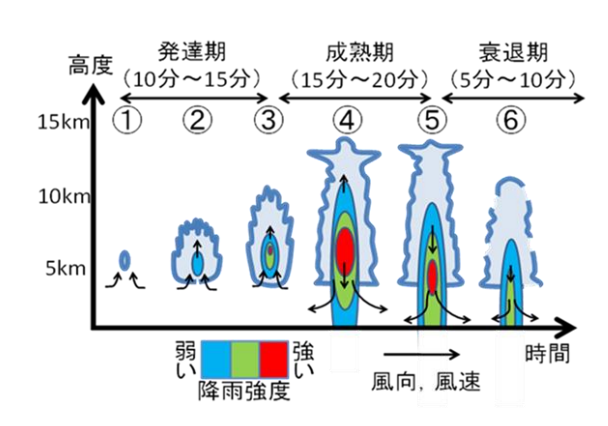


図1 単独積乱雲の発達, 衰退過程.

2 使用レーダ及び解析事例について

2.1 X バンド二重偏波レーダ

本研究では国土交通省が XRAIN として管理する 39 機のレーダ群のうち近畿地方を中心に設置されている鷲峰山,田口,六甲,葛城,熊山,鈴鹿,尾西の7台のXバンド二重偏波レーダを利用した.

2.2 解析事例について

本研究では近畿地方で発生した「30 分以内に地上に 50mm/hr 以上の降雨をもたらした孤立積乱雲」を対象事例として、7つの事例を抽出した。

3 解析手法と結果

まず、解析手法について説明する. 既往研究と同様にマルチドップラー解析を行って、各事例について 5 分ごとに鉛直渦度、上昇流などの値を得た. なお、本研究ではこの 5 分間隔のことを Time step と呼ぶ. 積 乱雲検知後最初の 5 分間を Time step 1, その次の 5 分間を Time step 2 とし、各事例について Time step 5 までマルチドップラー解析を行った. 次に、増田・中北 (2014) の手法を用いてライフステージ判別を行った. 増田・中北 (2014) の手法では、積乱雲の一生を

Tomoyasu MAEKAWA, Hwayeon KIM, Eiichi NAKAKITA, maekawa@hmd.dpri.kyoto-u.ac.jp

な危険性予測におけるライフサイクル概念の有用性

成長期,成熟前期,成熟後期,衰退期の4つのライフステージに分けており,本研究では,これらを Life stage 1,2,3,4 とする. 増田・中北 (2014) の手法を用いて各事例について,1分ごとのライフステージ判別を行った結果の内,2013年8月6日の事例における16時21分のライフステージ判別結果を図2に示す.

成長期 成熟前期 成熟後期 衰退期

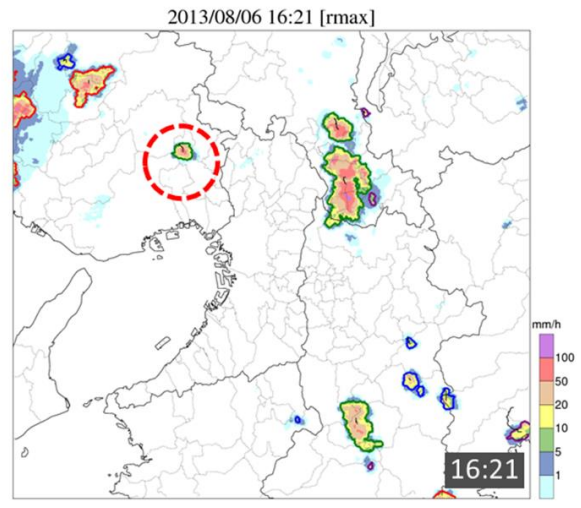


図2 2013 年 8 月 6 日 16 時 21 分におけるライフステージ判別結果. 雨域を囲む色がそのセルのライフステージを表している.

これらの結果を基にして 5 分ごとのライフステージを決定した. すなわち,各事例の各 Time step について 4 つのライフステージによる分類を行った.例えば,2013 年 8 月 6 日の事例の Time step 2 は成熟前期(Life stage 2)に分類された.5 分ごとのライフステージ判別による結果の一部を図 3 と図 4 に示す.なお,リスクレベルとは地上最大降雨強度を離散化したものである.このリスクレベルを目的変数として Time step 及び Life stage に基づいて重回帰分析を行い,その予測式を元のデータに当てはめることで予測実験を行った.

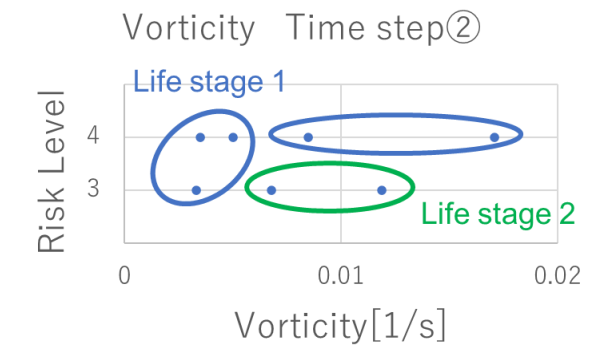


図3 Time step 2 (積乱雲検知後5~10分後) における鉛直渦度とリスクレベル.

Updraft Time step 2

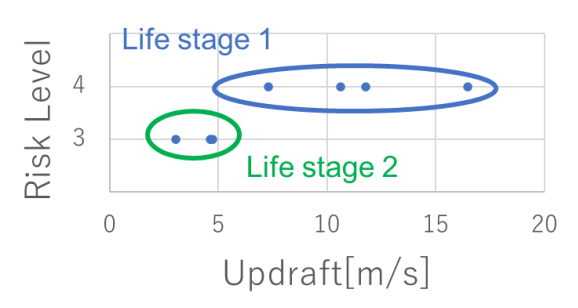


図4 Time step 2 における上昇流とリスクレベル. 予測実験の結果を示す. 本研究では, Time

step1, 2及び Life stage1, 2の予測結果を比較した. 結果どちらの予測もほぼ正確にリスクレベルの判定 ができた. また、上空を含めたセル内の最大降雨 強度を用いて同様の実験を行った. 結果, どちら の予測も正確な判定ができた. そこで, 地上最大 降雨強度とセル内の最大降雨強度を連続値のまま 扱って同様の予測実験を行ったところ、地上最大 降雨強度では Time step の方がより高い予測精度 を示し、セル内の最大降雨強度では Life stage が 高い予測精度を示した. セル内の最大降雨強度に 関しては、Time stage 2 における Life stage 1,2 のプ ロット別々にそれぞれの Life stage に基づいて作成 された予測式を当てはめたところ、Time stage 2 より もそれぞれの Life stage に基づいて作成した予測式 の方が高い予測精度を示した. また, 同様の操作を 地上最大降雨強度についても行ったところ、予測精 度の向上は見られなかったものの、予測式作成に用 いた Life stage のプロットの方の予測精度が高くな るという同様の傾向が見られた. 以上より, 降雨強 度予測におけるライフステージの利用可能性を確認 することができた.

4 今後の課題

地上での最大降雨強度と上空の最大降雨強度とで 4つの目的変数との関係に違いが見られた.これら2 つの間に何かしらの乖離があるのであれば,どのような乖離が存在するのか考えていきたい.

参考文献

増田・中北 (2014): X バンド偏波レーダを用いた降水 セルのライフステージ判別手法の開発, 土木学会論文 集(水工学), 第70巻4号 p.I 493-I 498